

# Кинетика радиационно-химических процессов:

## 2. Кинетика трековых процессов в жидкости. Рекомбинационно-диффузионная модель

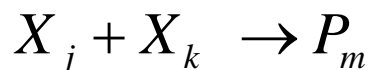
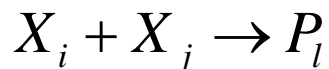
Вопросы и консультации:  
feldman@rc.chem.msu.ru

# Эволюция первичных радиационно-индуцированных наноструктур в жидкости

- **Жидкость:** диффузионное размывание шпор и треков в конкуренции с рекомбинацией и другими локальными химическими реакциями (**рекомбинационно-диффузионная модель**)

$$\frac{\partial C_i(r,t)}{\partial t} = D_i \nabla^2 C_i - \sum_{i,j} k_{ij} C_i C_j + \sum_{j,k \neq i} k_{jk} C_j C_k - k_S C_i C_S$$

Общая кинетическая схема в системе с одним акцептором



$X_{i,j,k}$  – «активные частицы» (по умолчанию – радикалы, но могут быть также ионы и ион-радикалы)

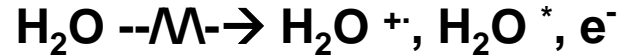
$S$  - акцептор;  $P$  – продукты соответствующих реакций

Допущения: 1) в системе протекают только бимолекулярные реакции;

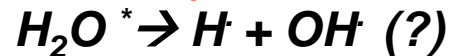
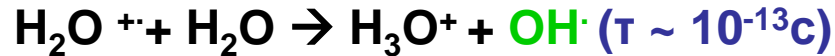
2) не учитываются кулоновские эффекты для заряженных частиц (справедливо при  $r > r_D$ )

Временной диапазон применимости модели в маловязких жидкостях:  $10^{-12} - 10^{-7}$  с  
«время жизни» шпор в жидкой воде – 10 – 100 нс (до полной гомогенизации)  
вероятность рекомбинации растет с ростом ЛПЭ

# Механизм радиолиза воды



«Сверхбыстрые» реакции (процессы в субпикосекундном диапазоне)



*«Начальные» выходы, частиц /100 эВ (~ 10<sup>-12</sup> с):*

$$G(\text{e}_{\text{aq}}^-) \sim 4.8; G(\text{OH}^\cdot) \sim 5.6; G(\text{H}^\cdot) \sim 0.6$$

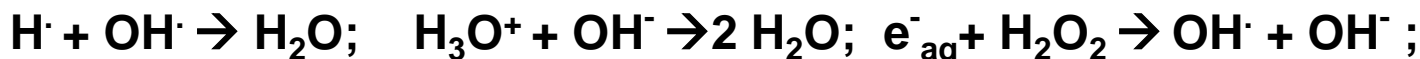
Реакции в «шпорах» ( $\tau \sim 10^{-12} - 10^{-7}\text{c}$ ):



*Выходы по завершении реакций в «шпорах» (~10<sup>-7</sup>с):*

$$\underline{G(\text{e}_{\text{aq}}^-) = 2.8; G(\text{OH}^\cdot) = 2.9; G(\text{H}_2\text{O}_2) = 0.75; G(\text{H}^\cdot) = 0.6; G(\text{H}_2) = 0.45}$$

Дополнительные реакции в «объеме» ( $\tau > 10^{-7}\text{c}$ ):



# Конкретные варианты формулировок рекомбинационно-диффузионной модели для промежуточных продуктов радиолиза воды

$$\frac{\partial C_{OH}(r,t)}{\partial t} = D_{OH} \nabla^2 C_{OH} - k_4 C_H C_{OH} - 2k_1 C_{OH}^2 - k_5 C_{OH} C_{e^{-aq}} - k_S C_H C_S$$

$$\frac{\partial C_{e^{-aq}}(r,t)}{\partial t} = D_{e^{-aq}} \nabla^2 C_{e^{-aq}} - k_2 C_{H_3O^+} C_{e^{-aq}} - k_5 C_{OH} C_{e^{-aq}} - 2k_6 C_{e^{-aq}}^2 - k_S C_{e^{-aq}} C_S$$

*(возможна неклассическая диффузия)*

$$\frac{\partial C_H(r,t)}{\partial t} = D_H \nabla^2 C_H + k_2 C_{e^{-aq}} C_{H_3O^+} - k_4 C_H C_{OH} - 2k_3 C_H^2 - k_S C_H C_S$$

*(есть функция источника)*

# Дополнительные условия и упрощения модели

Предполагается, что шпоры и треки не перекрываются

## Гипотеза «предписанной диффузии»

для сферической шпоры с начальным радиусом  $a$

$$C(r, t) = n(t) \frac{\exp[-r^2 / (a^2 + 4Dt)]}{[\pi(a^2 + 4Dt)]^{3/2}}$$

$$C(r, 0) = n_0 \frac{\exp(-r^2 / a^2)}{\pi^{3/2} a^3}$$

для цилиндрического трека с начальным радиусом  $b$  и длиной  $L \gg b$

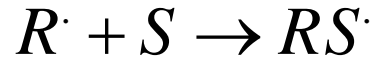
$$C(r, t) = n(t) \frac{\exp[-r^2 / (b^2 + 4Dt)]}{\pi(b^2 + 4Dt)L}$$

$$C(r, 0) = n_0 \frac{\exp(-r^2 / b^2)}{\pi b^2 L}$$

Зависимость константы скорости бимолекулярных диффузионно-контролируемых реакций от времени ( существенно при  $t = 10^{-12} - 10^{-9}$  с)

$$k_{ij}(t) = k_{diff}(\infty) \left[ 1 + \frac{k_{diff}(\infty)}{(4\pi)^{3/2} (D_i + D_j)^{3/2} t^{1/2}} \right]$$

# Однорадикальное приближение



Для сферической шпору с малым числом частиц  $n$ :

$$\frac{\partial C_R(r,t)}{\partial t} = D_R \nabla^2 C_R - 2k_r \left( \frac{n-1}{n} \right) C_R^2 - k_S C_R C_S$$

При малой концентрации растворенного вещества ( $C_S < 10^{-3} \text{ M}$ )

$$\frac{\partial C_R(r,t)}{\partial t} = D_R \nabla^2 C_R - 2k_r \left( \frac{n-1}{n} \right) C_R^2$$

# Аналитические решения для сферической шпору и цилиндрического трека

## Сферическая шпора

$$n(t)/n_0 = \left[1 + \kappa \left(1 + \frac{1}{\sqrt{1 + 4Dt/a^2}}\right)\right]^{-1}$$

$$\kappa = \left(\frac{2}{\pi}\right)^{1/2} \frac{k_r(n_0 - 1)}{4\pi Da}$$

$$\frac{n_\infty}{n_0} = \frac{1}{1 + \kappa} \qquad \frac{2N_M}{n_0} = \frac{\kappa}{1 + \kappa}$$

## Цилиндрический трек

$$n(t)/n_0 = \frac{\ln\left[1 + \frac{2k_r n_0 t}{\pi(b^2 + 4Dt)L}\right]}{2k_r n_0 t} \pi(b^2 + 4Dt)L$$

$$\frac{n_\infty}{n_0} = \frac{\ln\left(1 + \frac{k_r n_0}{2\pi DL}\right)}{k_r n_0} 2\pi DL$$

# Рекомбинация в присутствии акцептора: приближенные аналитические решения

Средние концентрации акцептора ( $C_S=10^{-3} - 10^{-1}$  М)

$$\frac{G_R}{G_R^0} = 1 + \kappa \left[ \frac{1}{(1 + \kappa)^2} \frac{k_S C_S V_0}{2k_r n_0} \right]^{1/3}$$

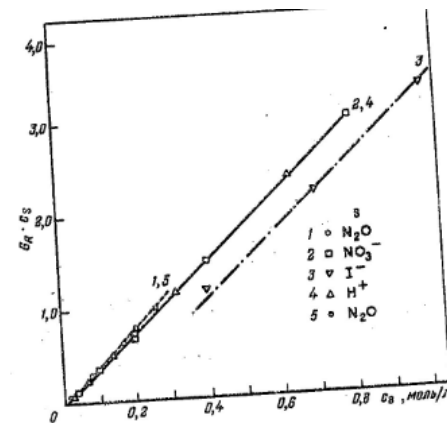
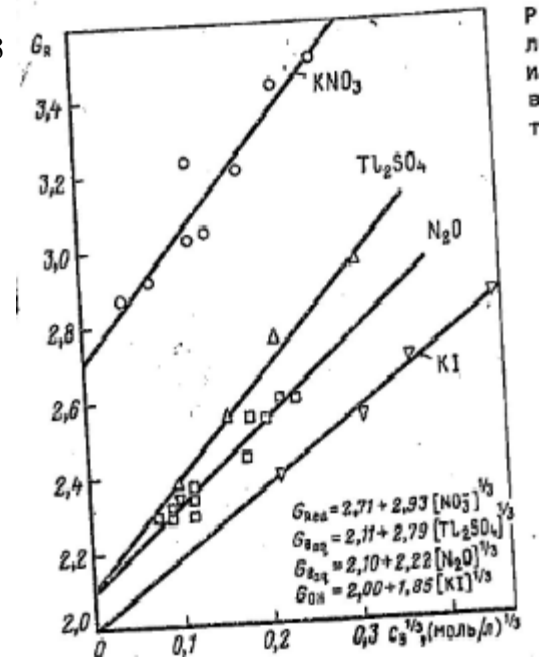
$$\frac{G_M}{G_M^0} = 1 - \left[ \frac{1}{(1 + \kappa)^2} \frac{k_S C_S V_0}{2k_r n_0} \right]^{1/3}$$

$$G_M = G_M^0 - q C_S^{1/3}$$

$V_0$  – начальный объем шпоры

Высокие концентрации акцептора  
( $C_S=10^{-1} - 1$  М)

$$G_R = G_R^{\max} - A C_S^{-1}$$





# Учет распределения шпор по размерам

- $$f(r) = \frac{1}{\sigma\sqrt{2\pi}} e^{-1/2\left(\frac{r-\mu}{\sigma}\right)^2}$$

$\mu$  – наиболее вероятный радиус шпоры

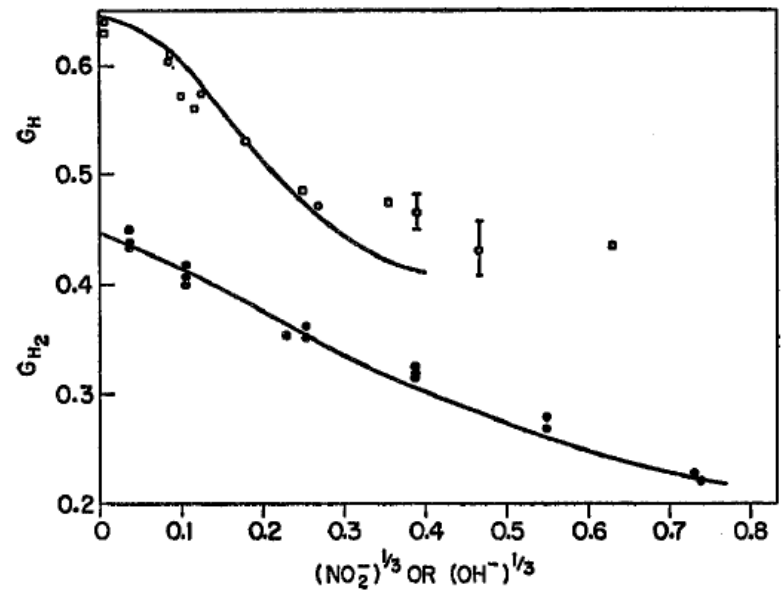
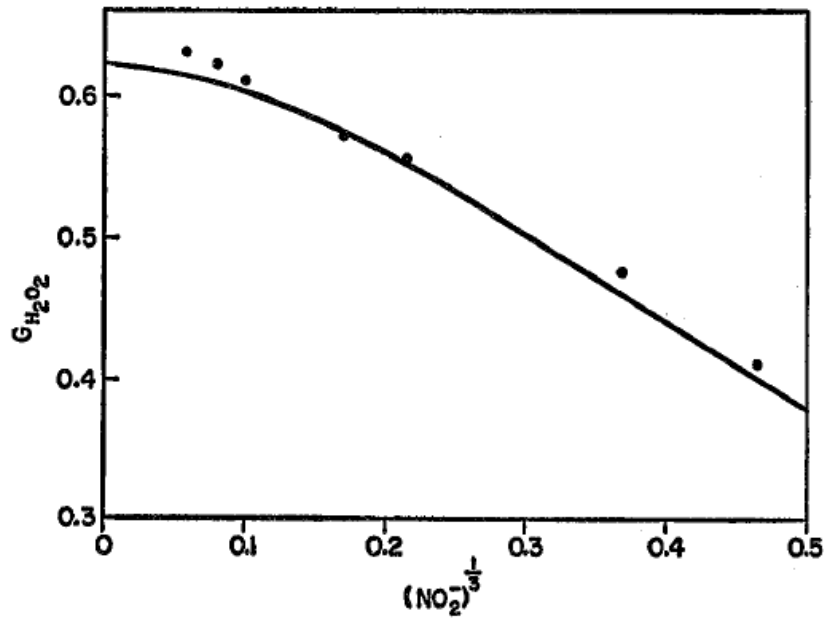
## Решение прямой и обратной задачи

Прямая задача:  $f(E) \rightarrow f(r) \rightarrow n(t), G(C_S)$

Обратная задача:  $n(t), G(C_S) \rightarrow f(r)$

Для радиолиза воды излучениями с низкой ЛПЭ  
получено  $\mu \approx 2$  nm,  $\sigma \approx 6$  (G. Girija, C. Gopinathan, 1980)

# Примеры численного решения обратной задачи (fitting)



*H.A. Schwarz, 1969*